

INSTITUTO SUPERIOR TÉCNICO

SIGNAL PROCESSING ELECTRONIC SYSTEM

Introduction to the Digital Signal Processing

Bandpass Tracking Filter

Vasco Luz - 105747

Victor Macedo - 105095

MEE - 2022/2023

16 de abril de 2023



TÉCNICO
LISBOA

Índice

1	Introdução	2
2	Materiais	2
3	Teoria	3
3.1	Phase Detector	3
3.2	Loop Filter	3
3.3	Numerical controlled Oscillator	6
3.4	Post-detection CIC filter	6
3.5	Second order bandpass IIR filter	6
3.6	Frequency control	10
4	Laboratorial	10
4.1	Desenvolvimento do filtro passa banda IIR	10
4.2	Desenvolvimento DPLL	16
4.3	Controle de frequência do filtro passa banda	17
4.4	Post detection filter and Decimation	19
4.5	Sistema completo	23
4.6	Variável de controle exata	26
5	Conclusão	29
6	Index	30
6.1	Código NCO	30
6.2	Código Matlab filtro passa banda	30
6.3	Código completo	32

1 Introdução

Neste trabalho foi desenvolvido um filtro passa banda de rastreamento, o qual ajusta a frequência central para a frequência mais significativa da onda de entrada de forma automática. O projeto tem como objetivo aplicar os conceitos aprendidos durante as aulas teóricas de "Sistema de Processamento Digital de Sinais". Para melhor entender o funcionamento desse projeto foi dividido em 6 blocos de funcionamento (fig 1) os quais devem ser explicados com maior detalhe na seção 3. Por fim, na seção 4, estão descritos os resultados obtidos dos blocos testados individualmente e combinados.

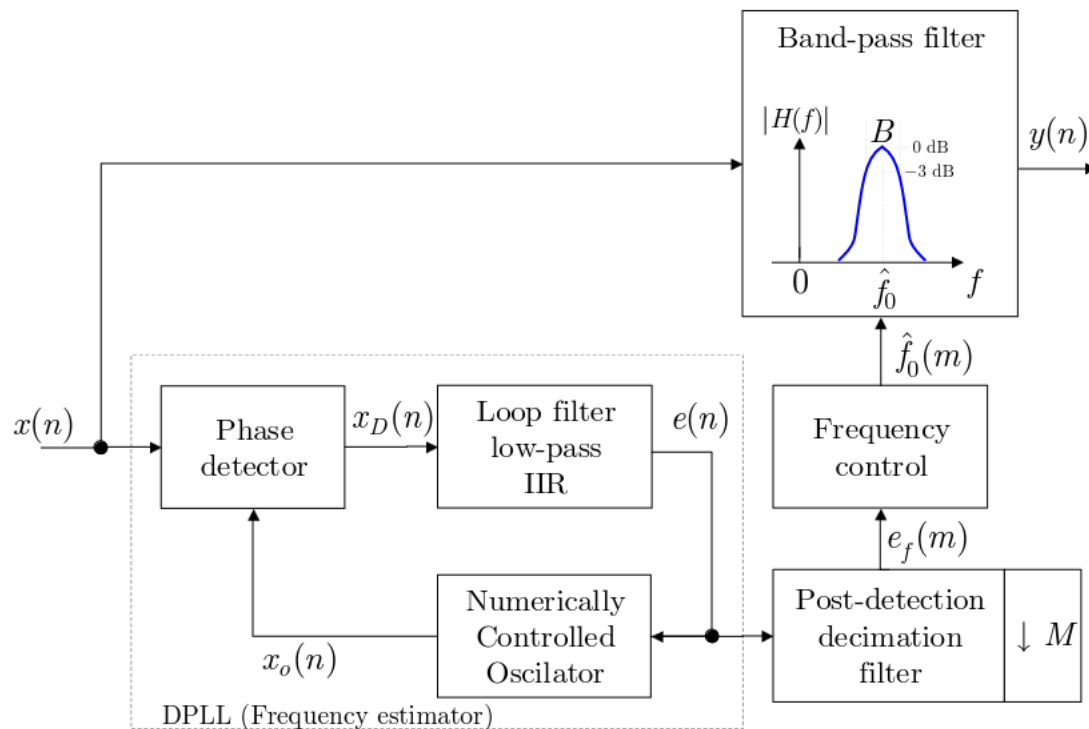


Figura 1: Diagrama de blocos do filtro passa banda de rastreamento

2 Materiais

Para a realização dos experimentos foi utilizado Starter Kit DSK TMDX5515eZDSP da *Texas Instrument*, o qual funciona com 16 bits, possui um processador de ponto fixo digital com 240 MIPS de performance e 320kB de memória interna no chip. O kit ainda apresenta um codec de áudio estéreo de 16 bits e interface dedicada a USB 2.0.

Para o desenvolvimento do software utilizou-se o programa *Code Composer Studio* (CCS), na versão 8.3.1. O mesmo fornece um ambiente integrado de desenvolvimento (IDE) baseado em

Eclipse e inclui todos os requisitos da aplicação como *assembler*, compilador, *linker* e *debugger*. Além de permitir debugging em tempo real e análise usando RTDX (Real Time Data Exchange).

3 Teoria

3.1 Phase Detector

Neste caso o Phase Detector implementado no sistema, é a multiplicação da onda de entrada pela onda gerada pelo Oscilador NCO exemplo, assumindo duas ondas sinusoidais $x_{in}(t)$ e $x_{NCO}(t)$:

$$y(t) = A_{IN}(\sin(w_{in}t + \theta_{in})) * A_{NCO}(\sin(w_{NCO}t + \theta_{NCO})) \quad (1)$$

$$y(t) = (1/2) * A_{IN} * A_{NCO} * (\sin(w_{in}t + \theta_{in} + w_{NCO}t + \theta_{NCO}) + \sin(w_{in}t - \theta_{in} + w_{NCO}t + \theta_{NCO})) \quad (2)$$

como geralmente a frequência de entrada tem aproximadamente a mesma frequência que a onda do oscilador pode-se simplificar a formula para, onde :

$$X(\Delta\theta) = (1/2) * A_{IN} * A_{NCO} * \sin(\Delta\theta) \quad (3)$$

Para o calculo do ganho do detetor de fase utiliza a seguinte expressão:

$$KD = \frac{X(\Delta\theta)}{\partial\Delta\theta} \quad (4)$$

$$KD = \frac{A_{IN} * A_{NCO} \cos(\Delta\theta)}{2} \quad (5)$$

Como a derivada, e um coseno, pode-se concluir que o ganho não é linear.

Como A_{IN} max e A_{NCO} max menores que 1 estão os dois representados em Q15. faz-se a multiplicação e depois retira-se o bit de sinal repetido, e depois da transforma-se o numero outra vez em Q15. usa-se o long para o numero temporariamente ter 32 bits durante a multiplicação.

3.2 Loop Filter

O Loop filter é um simples filtro passa baixa de primeira ordem que segue a equação 6

$$e(n) = \alpha * e(n - 1) + (1 - \alpha) * x_d(n) \quad (6)$$

fazendo a transformada z

$$e(z) = \alpha * Z^{-1}e(z) + (1 - \alpha) * X_d(Z)$$

$$e(z) - \alpha * Z^{-1}e(z) = (1 - \alpha) * X_d(Z)$$

$$\frac{e(z)}{x_d(z)} = \frac{1 - \alpha}{1 - Z^{-1}}$$

$$\frac{e(z)}{x_d(z)} = \frac{Z(1 - \alpha)}{Z - 1}$$

usando a formula de frequência de corte: calculou-se o mapa de polos-zeros para uma frequência de 10, 100 e 1000 Hz

$$f(s) = \frac{1 - \alpha}{\alpha} * \frac{f_s}{\pi} \quad (7)$$

usou-se o matlab para por o mapa de polos-zeros como mostra as figuras

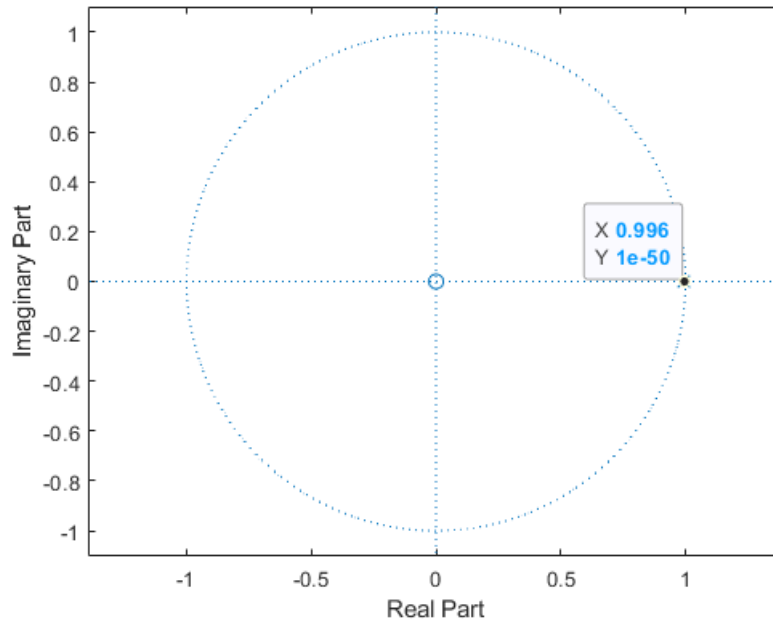


Figura 2: Polo e zeros do filtro para f=10 Hz

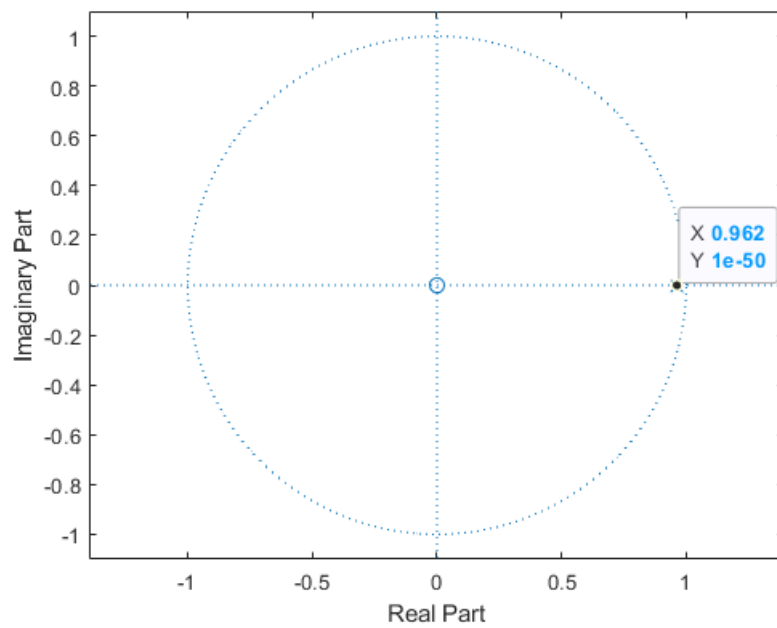


Figura 3: Polo e zeros do filtro para $f=100$ Hz

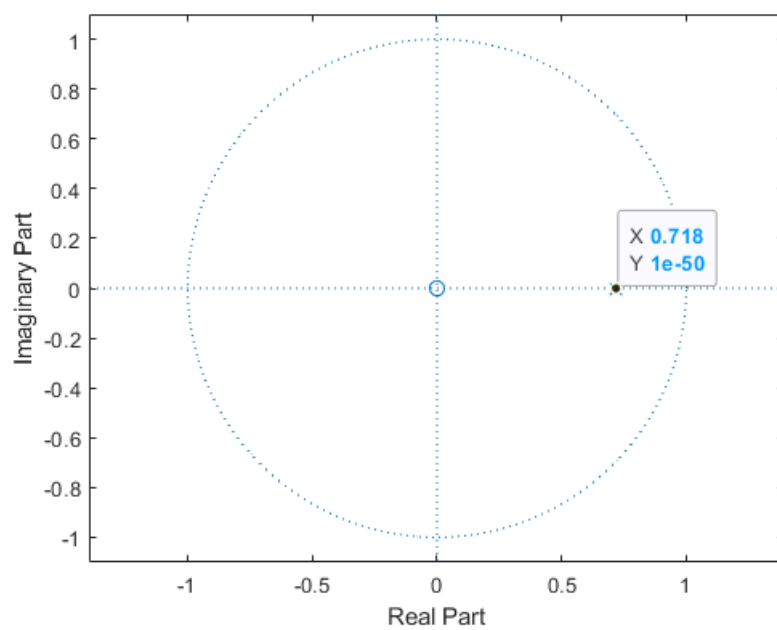


Figura 4: Polo e zeros do filtro para $f=1$ kHz

α nunca poderá ser maior do que 1 para o filtro ser estável. isto pois se α for maior do que 1(em modulo), $e(n)$ tende para infinito ou para menos infinito(caso o α seja negativo e menor que 1) ou noutras palavras instável. Se α menor do que zero o filtro funciona como um filtro passa alta.

Por fim foi calculado os valores de α para as seguintes frequências:

- $f_c = 10Hz \rightarrow \alpha = 0,996$
- $f_c = 100Hz \rightarrow \alpha = 0,962$
- $f_c = 250Hz \rightarrow \alpha = 0,910$
- $f_c = 1kHz \rightarrow \alpha = 0,718$

3.3 Numerical controlled Oscillator

O *Numerical controlled Oscillator* já foi desenvolvido na parte 1 deste projeto, sendo assim o mesmo deve apenas ser integrado junto aos demais blocos. Mais detalhes do código utilizado pode ser visto no Index, na secção 6.1

3.4 Post-detection CIC filter

Após a sincronização do loop a saída do filtro apresenta uma componente de ruído devido a multiplicação senoidal do *phase detector*. Além disso como foi explicado previamente há a necessidade de reduzir a taxa de atualização por um fator M . Somando essas duas operações (filtragem e redução da taxa de atualização) tem-se um *decimator*, como mostra a figura 5

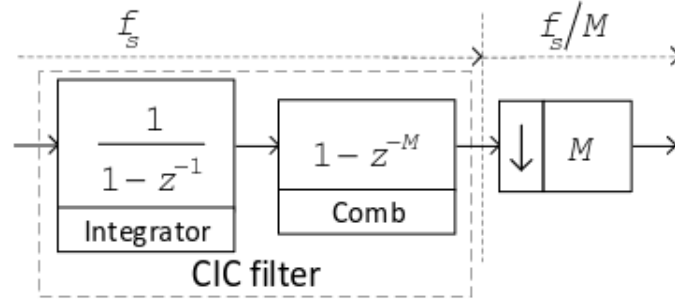


Figura 5: Decimator por M usando um estagio CIC Filter

3.5 Second order bandpass IIR filter

O filtro passa banda é um filtro de segunda ordem de resposta infinita ao impulso (IIR), com frequência central programável e $-3dB$ de largura de banda lateral. A função transferência é dado por:

$$T_{BP}(z) = K_B \frac{1 - z^{-2}}{1 - 2K_f(1 - K_B)z^{-1} + (1 - 2K_B)z^{-2}} \quad (8)$$

Os parâmetros K_f e K_b controlam frequência central f_0 e a largura de banda bilateral do filtro no ganho de $-3dB$. E são calculados pelas equações a seguir:

$$K_f = \cos(2\pi \frac{f_0}{f_s}) \quad (9)$$

$$K_b = \frac{1}{1 + \cot(\pi \frac{B}{f_s})} \quad (10)$$

O calculo dos valores de K_b e K_f foi feito utilizando o software Excel e resultou nos seguintes valores:

Fo	2000	4000	6000
Kf	0.707	0	-0.707
Kb	0.073	0.073	0.073

Tabela 1: Cálculos dos valores de K_f e K_b

Como pode ser observado na tabela 1 todos os valores podem ser representados em Q15. O resultado teórico foi calculado usando o software Matlab, o código utilizado esta na secção 6.2 e os gráficos 6 e 7 apresentam as características do filtro.

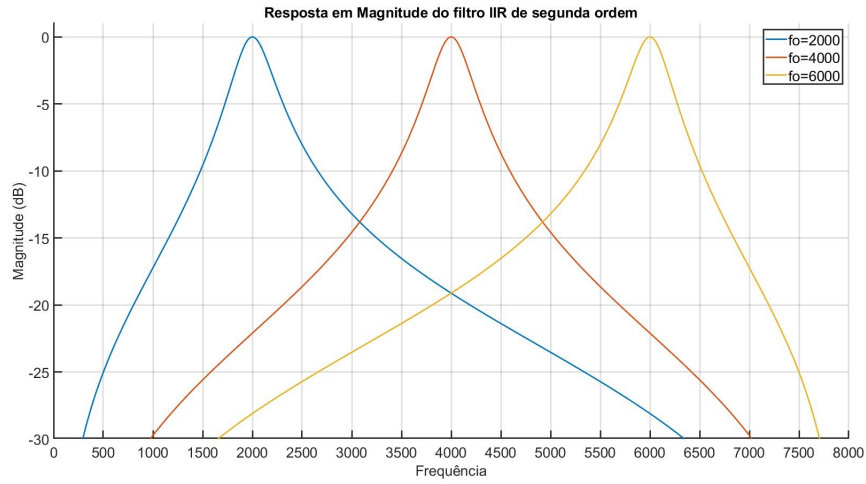


Figura 6: Resposta em magnitude do filtro IIR de segunda ordem

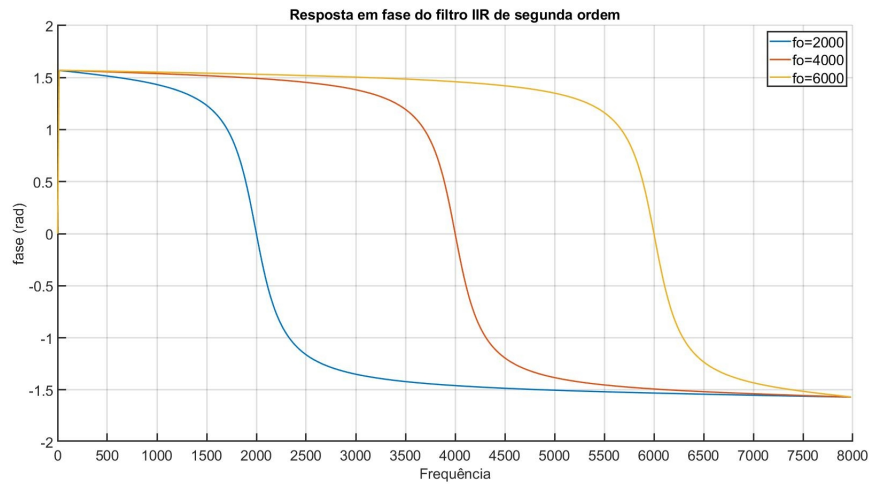


Figura 7: Resposta em fase do filtro IIR de segunda ordem

Se utilizássemos o valor de $f_0 = 0Hz$ seria obtido um filtro passa baixa como mostra a figura 8.

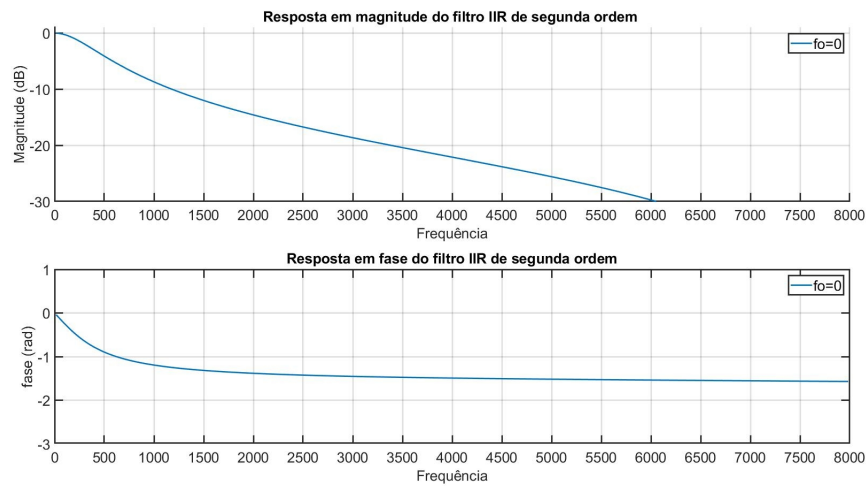


Figura 8: Filtro IIR de segunda ordem com $F_0 = 0Hz$

Utilizando o valor de $f_0 = 8000Hz$ o filtro obtido é um passa alta, como mostra a figura 9.

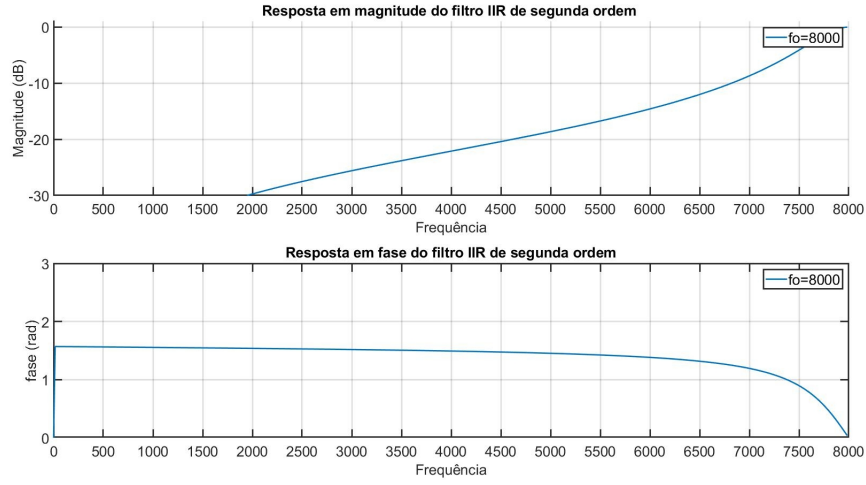


Figura 9: Filtro IIR de segunda ordem com $F_0 = 8000Hz$

A implementação do filtro é feita usando a forma direta II, conforme o diagrama da figura 10

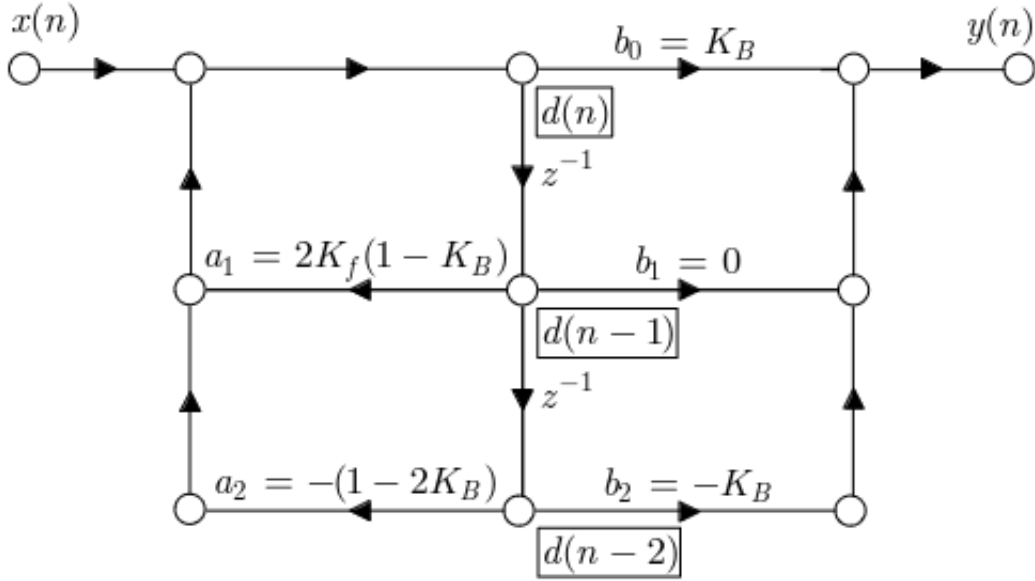


Figura 10: Diagrama do fluxo de sinal do filtro passa banda

O qual resulta na seguinte equação para implementação no código:

$$y(n) = a_1 y(n-1) + a_2 y(n-2) + b_0 x(n) + b_1 x(n-1) + b_2 x(n-2) \quad (11)$$

3.6 Frequency control

O objetivo deste bloco é calcular o valor de K_f da equação 9, o qual controla a frequência central do filtro, usando a informação do erro $e_f(n)$. A frequência central se limita a $2kHz \leq f_0 \leq 6kHz$ para $-0.5 \leq e_f(n) \leq 0.5$. Para efetuar o calculo deve ser feita uma aproximação linear como mostra a figura 11

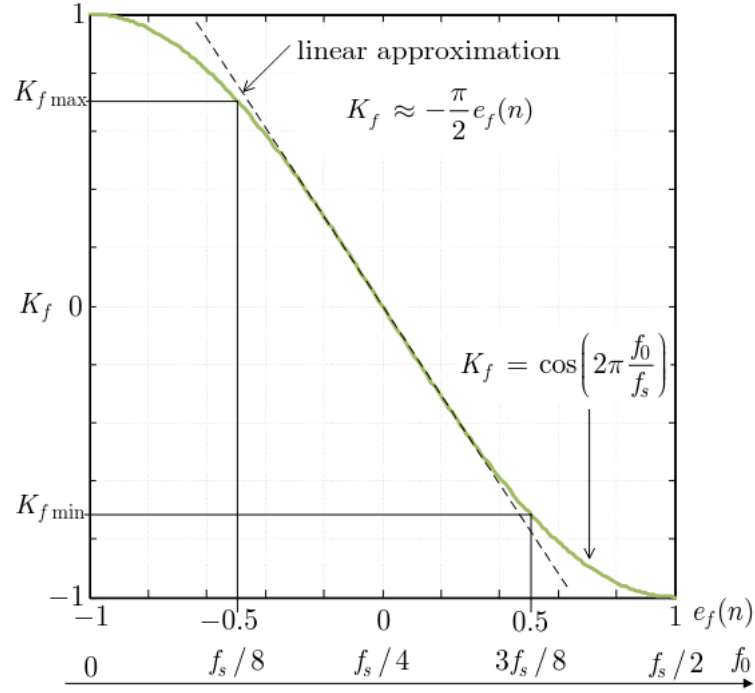


Figura 11: Variação de K_f em função de $e_f(n)$

Sendo assim o valor de K_f deve ser calculado segundo a equação 12

$$K_f \approx -\frac{\pi}{2} e_f(n) \quad (12)$$

O único parâmetro que varia com K_f é $a1$ logo o mesmo deve ser recalculado após alteração do K_f

4 Laboratorial

4.1 Desenvolvimento do filtro passa banda IIR

Reescrevendo a equação 11 de acordo com o ponto fixo tem-se a equação 13

$$(Q_{14} * Q_{14}) - (Q_{14} * Q_{14}) + (Q_{14} + Q_{15}) - (Q_{14} + Q_{15}) \quad (13)$$

$$(Q_{13} - Q_{14}) + (Q_{15} - Q_{15})$$

$$Q_{12} + Q_{14} = Q_{11}$$

De acordo com a teoria de ponto fixo o resultado em Q_{11} garante a representação do valor desejado, porém o uso de mais casas decimais pode trazer maior precisão.

Para aplicar o filtro IIR foi necessário aplicar a equação 11 utilizando o seguinte pedaço de código:

```
xband[0] = DataInLeft ;
yband[0] = (((long)a1*yband[1])<< 1) -(long)27986*yband[2]+(long)2391*xband
[0]-(long)2391*xband[2]) << 1 >> 16;

yband[2]=yband[1];
yband[1]=yband[0];

xband[2]=xband[1];
xband[1]=xband[0];
```

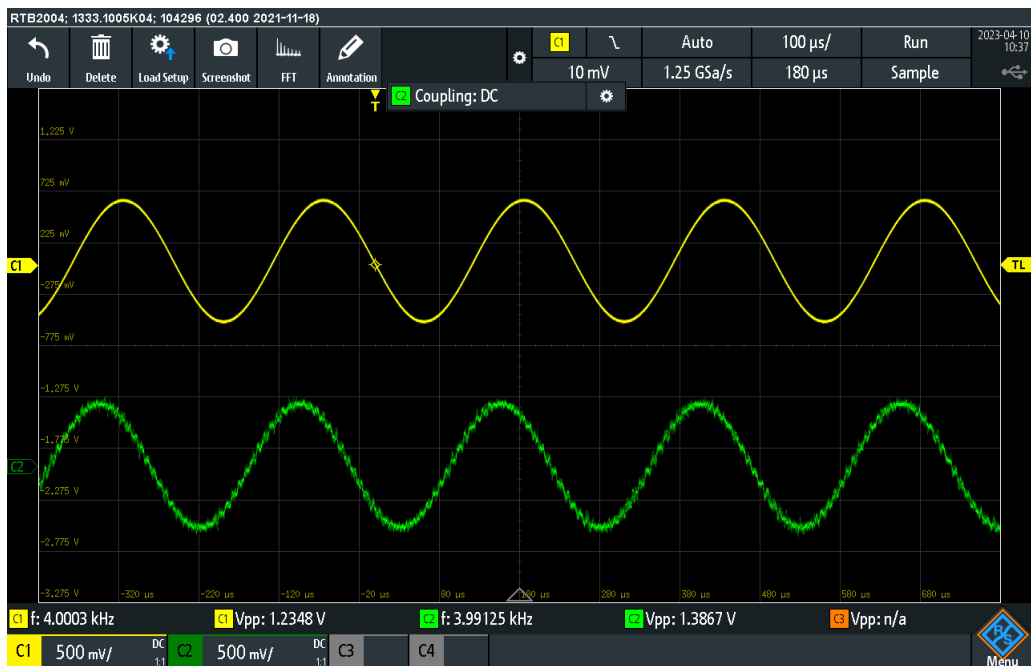


Figura 12: Sinal de entrada de 4 kHz e filtro centrado em 4kHz

A figura 12 foi calculada usando o formato Q15 e como pode ser observado não apresentou *overflow* logo é o formato mais adequado para a aplicação.

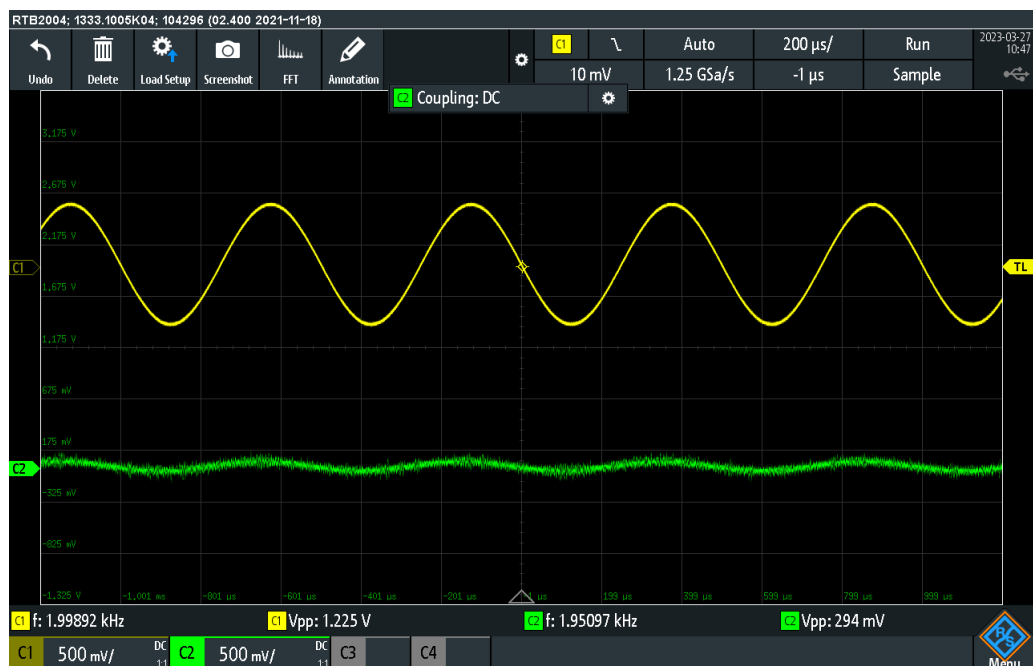


Figura 13: Sinal de entrada de 2 kHz e filtro centrado em 4 kHz

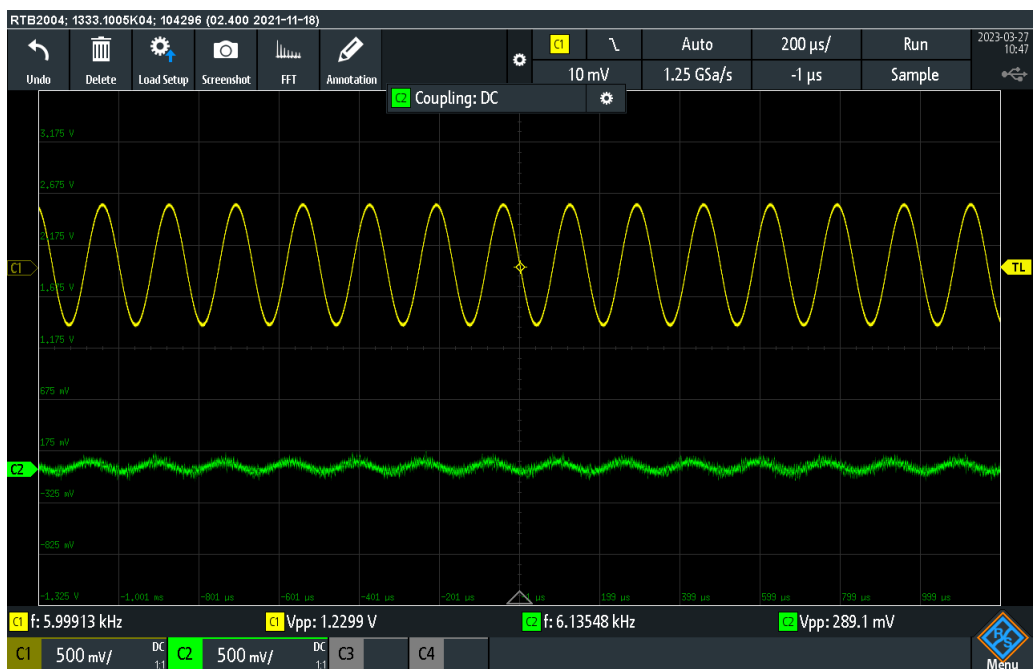


Figura 14: Sinal de entrada de 6 kHz e filtro centrado em 4 kHz

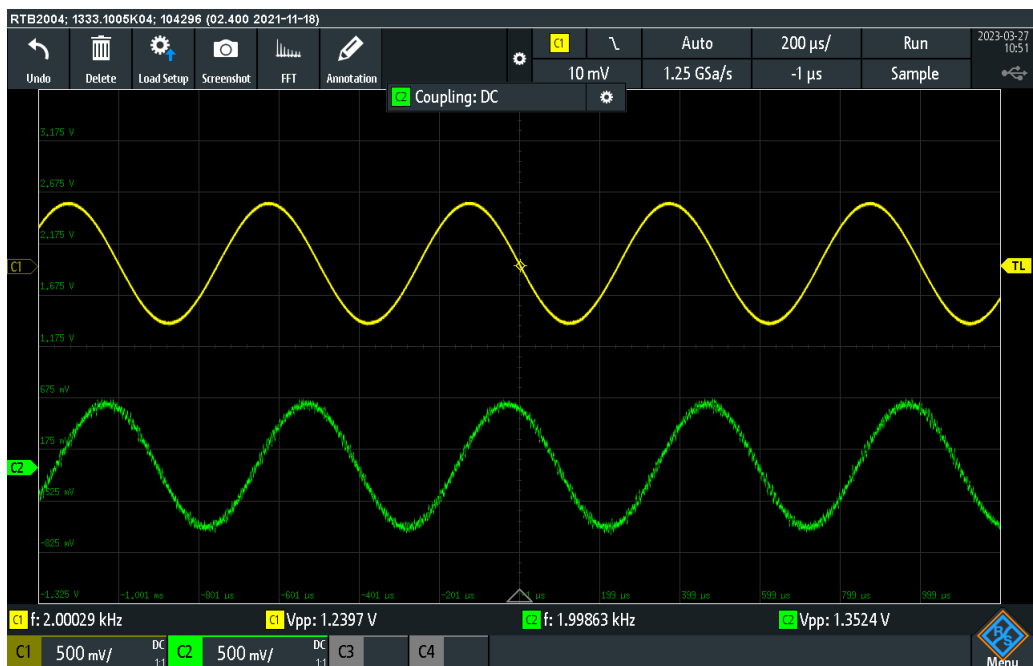


Figura 15: Sinal de entrada de 2 kHz e filtro centrado em 2 kHz

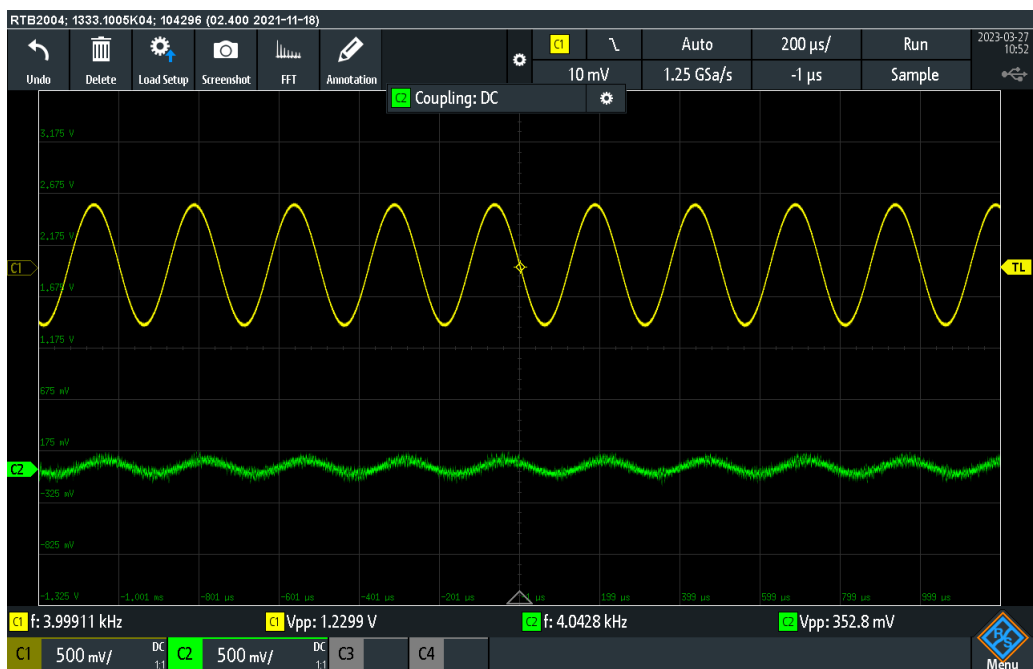


Figura 16: Sinal de entrada de 4 kHz e filtro centrado em 2 kHz

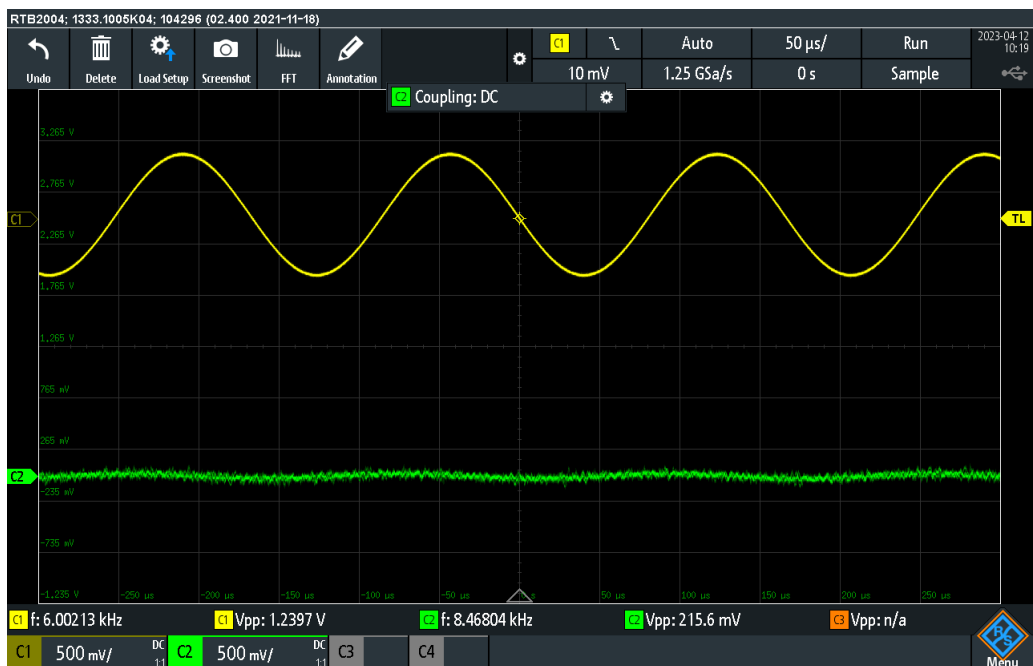


Figura 17: Sinal de entrada de 6 kHz e filtro centrado em 2 kHz

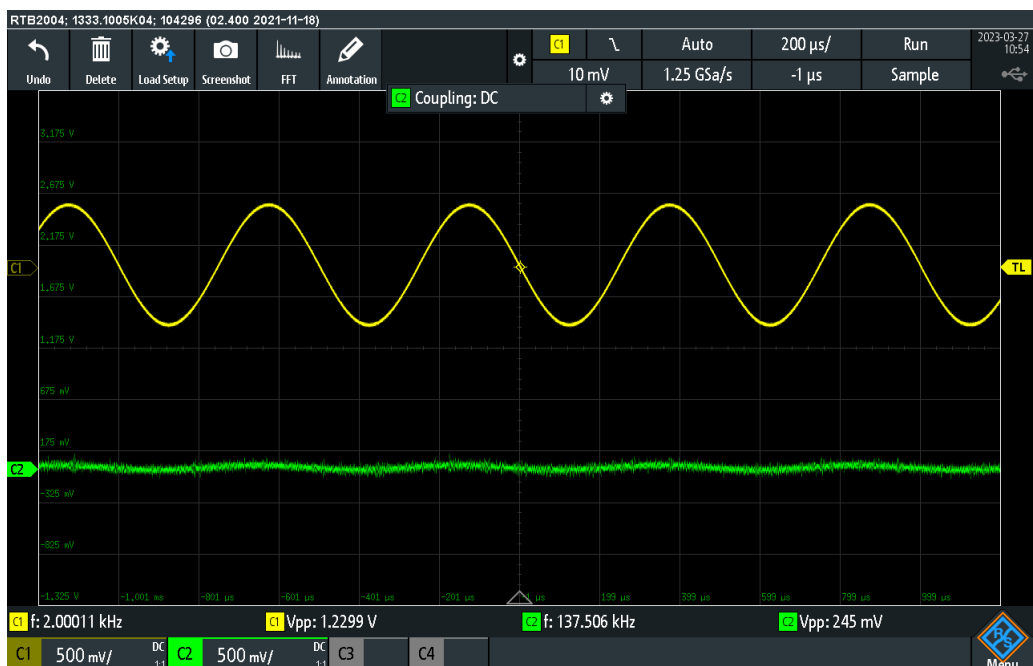


Figura 18: Sinal de entrada de 2 kHz e filtro centrado em 6kHz

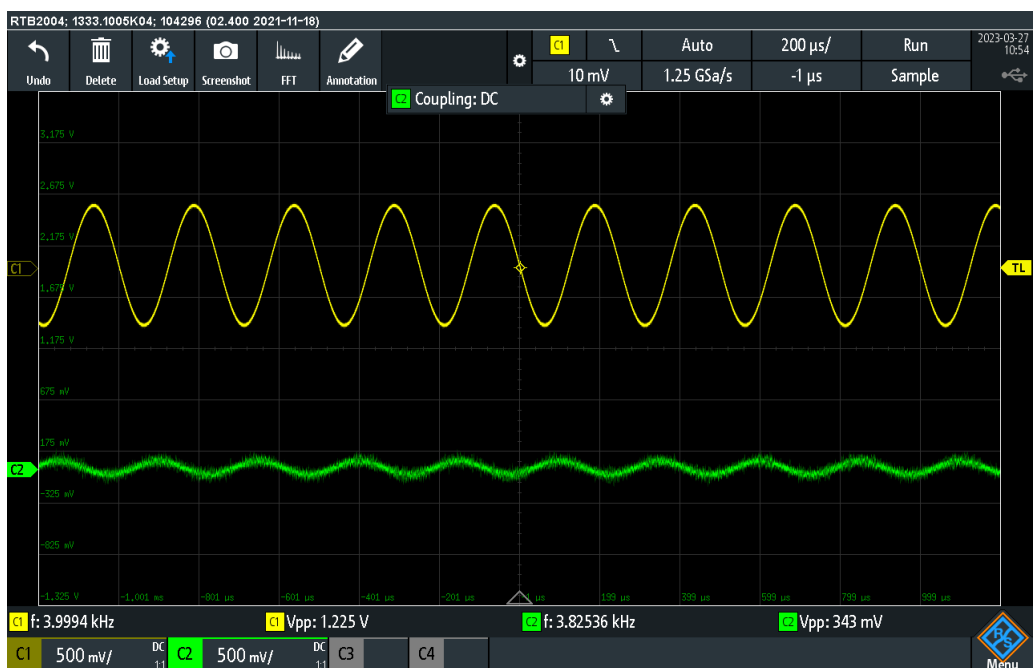


Figura 19: Sinal de entrada de 4 kHz e filtro centrado em 6 kHz

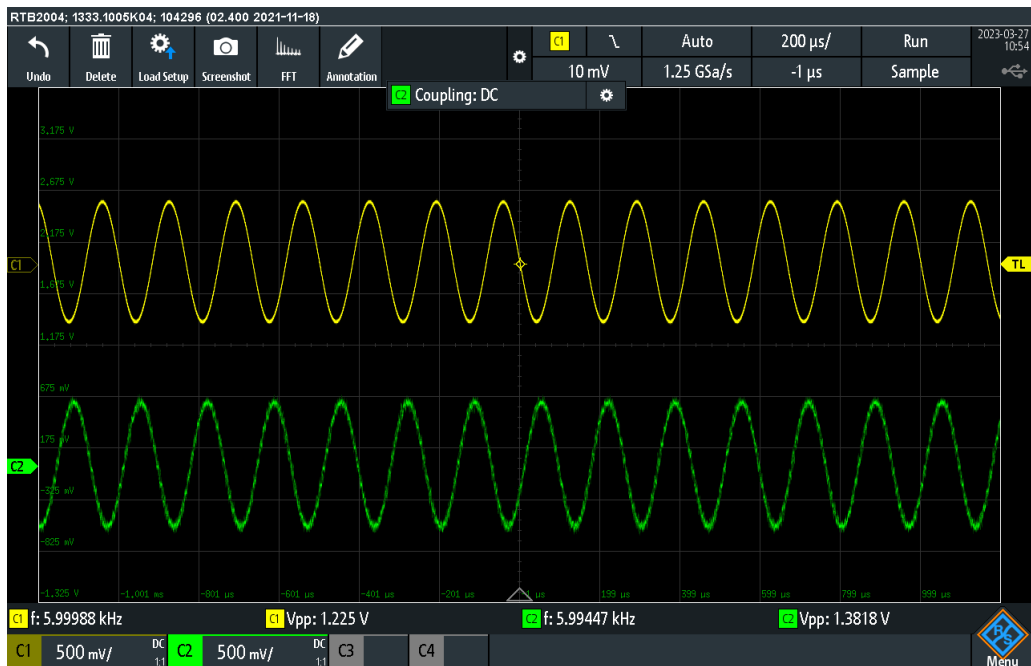


Figura 20: Sinal de entrada de 6 kHz e filtro centrado em 6 kHz

Como pode ser observado nas imagens acima o filtro cumpre seu requisito nas 3 frequências desejadas.

4.2 Desenvolvimento DPLL

	Parameters	NCO gain $k = 0.25$		$A_{max} = 1.2 V_{pp}$	
	Amplitude	$A_{max} = 1.2 V_{pp}$		$A_{max}/2 = 0.6 V_{pp}$	
	Loop filter	$f_c=100$ hz	$f_c=10$ hz	$f_c=100$ hz	$f_c=10$ hz
Ascending sweep	f_{c-}	4455	4835	4390	4390
	f_{l+}	3765	3895	3850	3960
Descending sweep	f_{c+}	4245	4115	4180	4040
	f_{l-}	3565	3165	3580	3610
	Δf_c	-210	-720	-210	-350
	Δf_l	200	730	270	350

Tabela 2: Características do DPLL com o primeiro ganho

Aumentando o valor do NCO até que o limite do *hold* esteja entre 1500Hz e 6500Hz obtém-se os resultados da tabela 3

	Parameters	NCO gain k = 085		Amax = 1.2 Vpp	
	Amplitude	Amax = 1.2 Vpp		Amax/2 = 0.6 Vpp	
	Loop filter	fc=100 hz	fc=10 hz	fc=100 hz	fc=10 hz
Ascending sweep	fc-	6630	6630	5470	5390
	fl+	3350	3830	3700	3958
Descending sweep	fc+	4550	4230	4420	4050
	fl-	1310	1370	2550	2590
	Δfc	-2080	-2400	-1050	-1340
	Δfl	2040	2460	1150	1368

Tabela 3: Características do DPLL com o segundo ganho

O ganho foi alterado para próximo de 0.85

4.3 Controle de frequência do filtro passa banda

Como foi explicado na secção 3.6 é preciso implementar a equação:

$$a1 = 2 * K_f * (1 - K_B) \quad (14)$$

Para garantir $a1$ variável foi utilizado o seguinte pedaço de código

```
a1 = ((2*(long)Kf*(32767-2555)) << 1 ) >> 16; //a1 = 2*Kf*(1-Kb) Valor
      varia entre -1.3 e 1.3 Q14
```

O resultado obtido após a implementação foi:



Figura 21: a_1 sendo calculado em tempo real para $ef = 0$

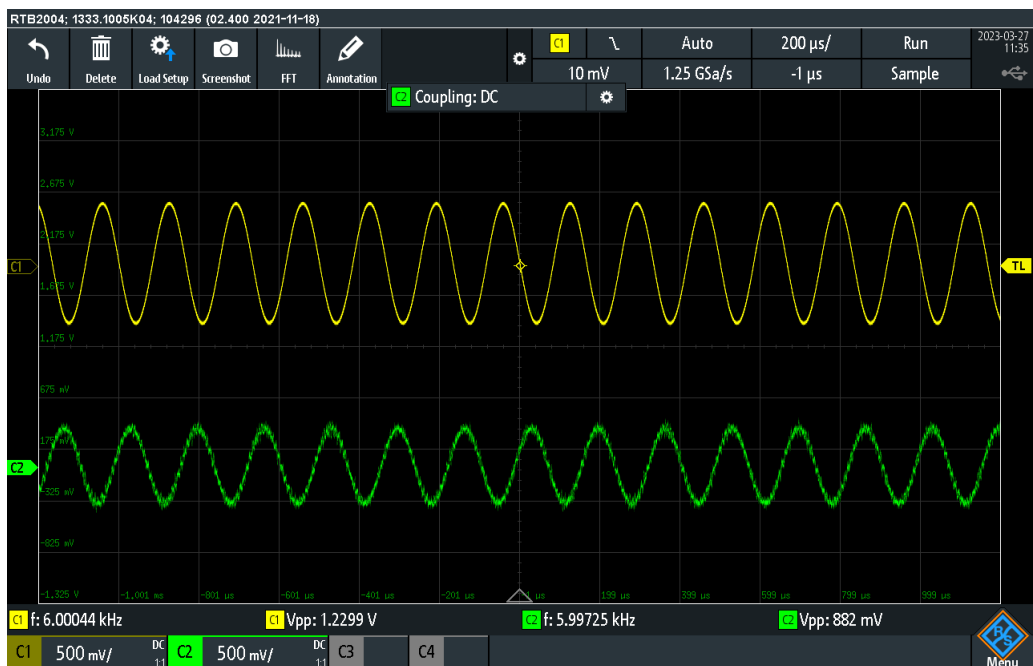


Figura 22: a_1 sendo calculado em tempo real para $ef = 0.5$

Vale ressaltar que o filtro centrado em 6 kHz apresenta certa deformação devido a aproximação. Sendo assim a frequência de corte real se aproxima de 6350 Hz.

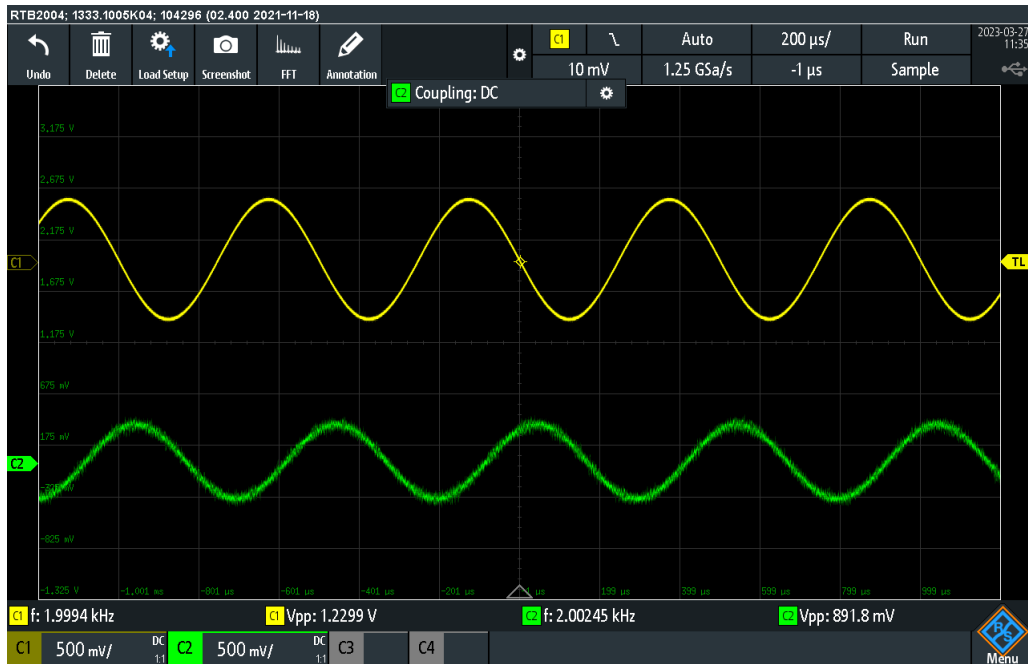


Figura 23: a_1 sendo calculado em tempo real para $e_f = -0.5$

O filtro centrado em 2 kHz apresenta o mesmo problema que o anterior, possuindo a frequência de corte real próximo de 1650 Hz.

A deformação vista nos filtros de 2 kHz e 6 kHz já era esperada devido a aproximação visto na seção 3.6, sendo assim o resultado está dentro do esperado.

4.4 Post detection filter and Decimation

A metodologia do filtro passa baixa utilizada foi IIR ao invés de CIC, devido a prévia experiência. Sendo assim utilizo-se a equação 6 com $f_c = 250$ Hz, o qual resultou em $\alpha = 0,91$. Seguido de um compressor de $M = 32$, a implementação foi feita usando o seguinte trecho de código:

```
//Filtro passa baixa IIR Fc=250, alpha = 0,91
fd = (((long)29839*fd + (32767-29839)*(long)ec))<<1>>16; //Resultado em Q15
dec++;
//Salva o valor de fd a cada 32 amostras para realizar a decimacao
if (dec == 32)
{
    dec = 0 ;
    yd = fd ;
}
```

}

Variando a frequência de entrada (amarelo) de 20 Hz até 250 Hz foram obtidos os seguintes resultados da saída do filtro (verde) e da saída do decimador (laranja):



Figura 24: Resposta do filtro IRR/decimador para entrada de 20 Hz



Figura 25: Resposta do filtro IRR/decimador para entrada de 62.5 Hz

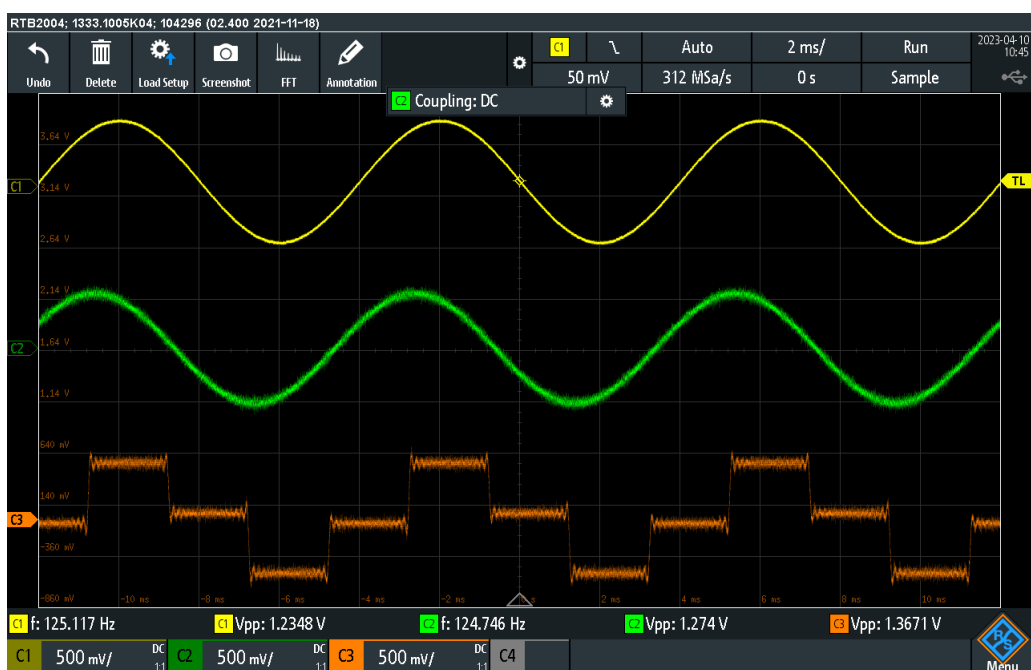


Figura 26: Resposta do filtro IRR/decimador para entrada de 125 Hz

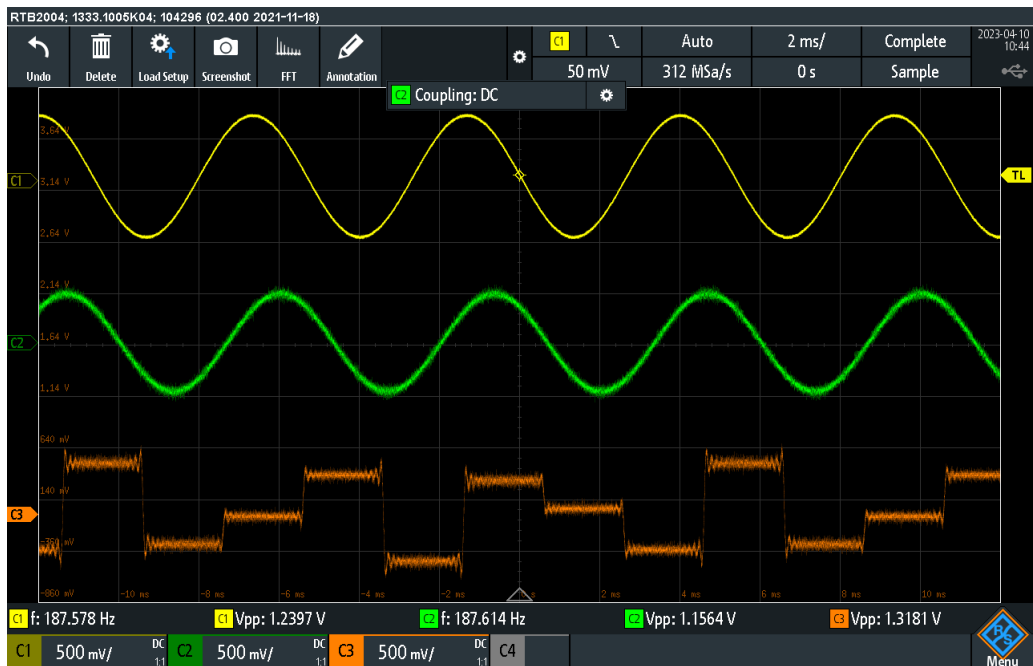


Figura 27: Resposta do filtro IRR/decimador para entrada de 187 Hz

Vale ressaltar que na frequência próxima de 187 Hz a saída do decimador apresentou instabilidade.

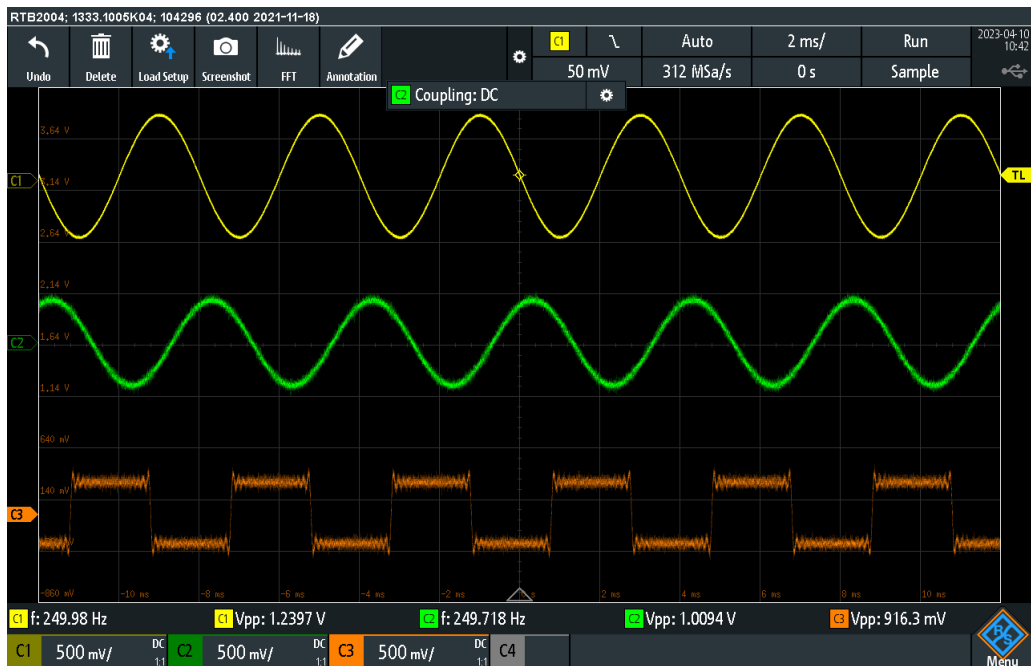


Figura 28: Resposta do filtro IRR/decimador para entrada de 250hz

Como observados nas figuras 24 a 28 obteve-se os resultados de acordo com a teoria. Obteve-se resultados estáveis para frequências que mantivesse um relação fracionaria par com 250 Hz como pode-se ser observado na figura 25 e 26.

4.5 Sistema completo

Ao conectar todos os blocos foi possível testar o sistema completo. Para realizar a testagem foi observado a frequência de entrada do gerador de função (amarelo), a saída do filtro passa banda (verde) e a saída do NCO (laranja) para monitorar a sincronização do DPLL.



Figura 29: Exemplo teste do sistema completo

Na figura 29 pode-se observar o bom funcionamento do Bandpass tracking filter. Pode-se observar um desfazamento entre a onda de entrada(amarelo) e a onda de saída do filtro(verde), este desfazamento esta associado ao delay do dsp utilizado.

	Parameters	NCO gain $k = 1$	$A = A_{max} \approx 1.2V$
		$M = 32$	$f_c = 100$
	Input frequency (kHz)	Output amplitude (V)	
Ascending frequency sweep	1	0.240	
	1.5	0.269	
	2	0.308	
	2.5	0.343	
	3	0.421	
	3.5	1.320	
	4	1.370	
	4.5	1.310	
	5	1.254	
	5.5	1.270	
	6	1.360	
	6.5	1.060	
	7	0.240	
Descending frequency sweep	7	0.240	
	6.5	0.260	
	6	0.294	
	5.5	0.343	
	5	0.441	
	4.5	1.360	
	4	1.370	
	3.5	1.330	
	3	1.259	
	2.5	1.260	
	2	1.360	
	1.5	1.010	
	1	0.235	

Tabela 4: Caracterização global do Tracking filter

Ao utilizar o software *Waveform* foi possível adquirir os valores da tabela 4 para 200 pontos e então plotar um gráfico com os valores:

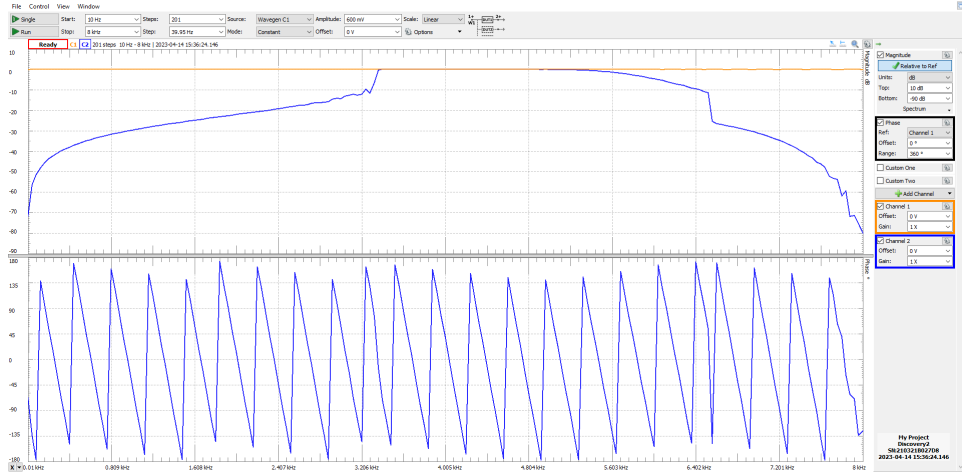


Figura 30: Ascending sweep para K_f aproximado

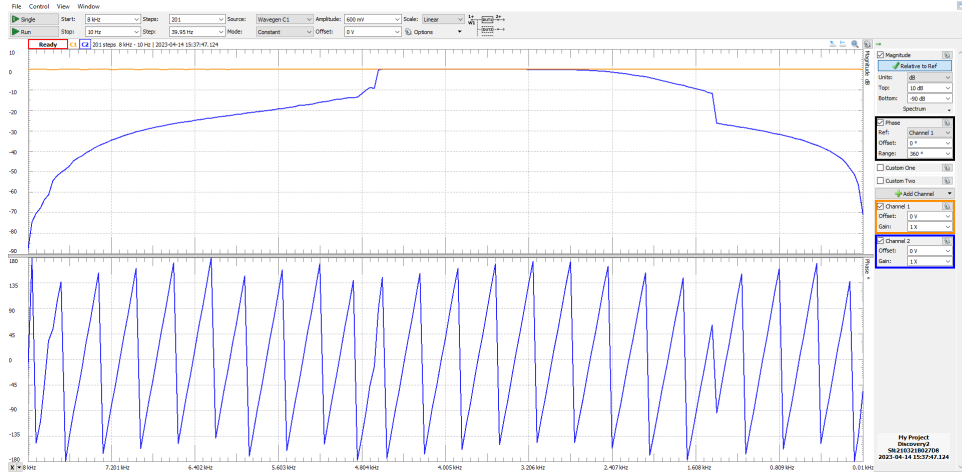


Figura 31: Descending sweep para K_f aproximado

4.6 Variável de controle exata

No bloco de controle de frequência é calculado o valor de K_f , o qual deve controlar a frequência central do filtro passa banda, porém o valor utilizado até então era uma aproximação do valor real:

$$K_f = \cos(2\pi \frac{f_0}{f_s}) = -\sin(\frac{\pi}{2} e_f(n)) \approx -\frac{\pi}{2} e_f(n) \quad (15)$$

Utilizando o seguinte trecho de código foi possível substituir a aproximação de K_f pelo valor do seno, utilizou-se também de interpolação para obter melhores resultados.

```

senkf = (((16384*(long)yd)) << 1 ) >> 16; //ef/2 resultado final em Q15
senkf2 = (senkf & 31744) >> 10;           //0b1111 1100 0000 000 e Utiliza os
5 MSB + bit de sinal e converte para Q10

Kf = (-look_sen[senkf2] >> 1); //Converte o valor do sen de Q15 para Q14
Kf2 = (-look_sen[senkf2+1] >> 1);
if(senkf<0){
    Kf = -Kf;
}
I_Kf = (senkf & 1023) << 5;           //0b0000 0011 1111 1111 Utiliza os
outros bits para interpolacao
inter = Kf+((((Kf2-Kf)*(long)I_Kf)<<1)>>16); //Interpolacao do seno

```

	Parameters	NCO gain $k = 1$	$A = A_{max} \approx 1.2V$
		$M = 32$	$f_c = 100$
	Input frequency (kHz)	Output amplitude (V)	
Ascending frequency sweep	1	0.196	
	1.5	0.260	
	2	0.278	
	2.5	0.340	
	3	0.438	
	3.5	1.320	
	4	1.330	
	4.5	0.906	
	5	0.886	
	5.5	0.878	
	6	0.846	
	6.5	0.528	
	7	0.200	
Descending frequency sweep	7	0.200	
	6.5	0.214	
	6	0.256	
	5.5	0.306	
	5	0.402	
	4.5	0.904	
	4	1.336	
	3.5	1.332	
	3	1.324	
	2.5	1.310	
	2	1.302	
	1.5	0.838	
	1	0.222	

Tabela 5: Caracterização global do Tracking filter, com K_f exato

Devido ao facto que a única forma de calcular senos e com a utilização de uma lookup table (com 32 valores mas realmente só 8 serão utilizados) pode-se observar algumas discrepâncias na amplitude das saídas em certas ocasiões durante alterações da frequência de entrada, isto devido a mudança súbita do valor por causa da lookup table.

Assim como no caso aproximado utilizou-se o software *Waveform* para uma aquisição mais exata dos dados, resultando nos seguintes gráficos

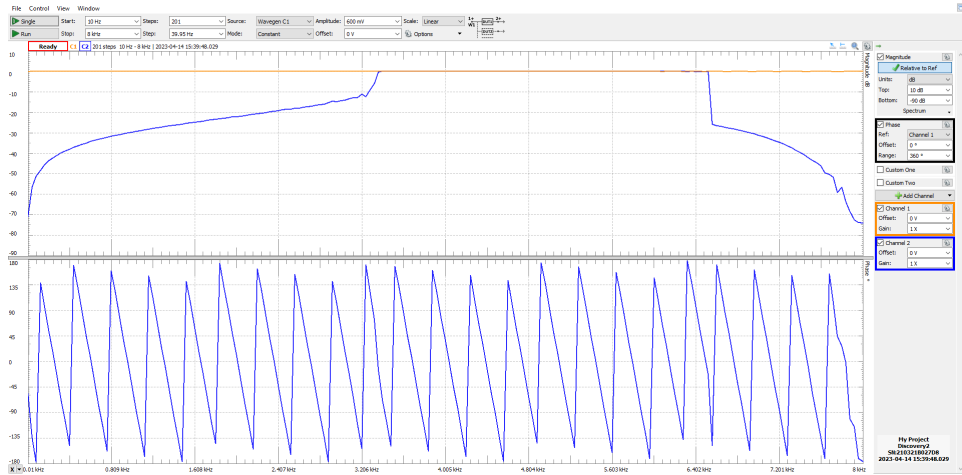


Figura 32: Ascending sweep para K_f exato

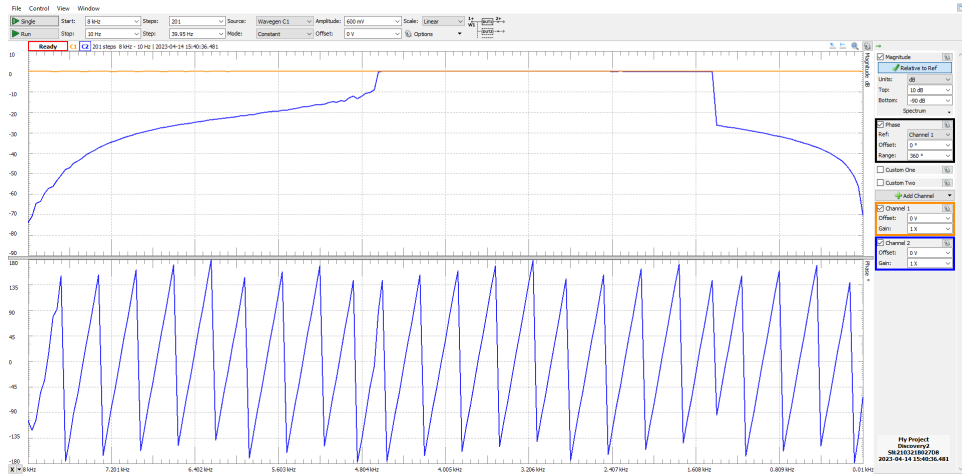


Figura 33: Descending sweep para K_f exato

Comparando as figuras 30 e 32 é notável a melhora ao utilizar o valor exato, ao utilizar o valor aproximado o valor da tensão começa a ser atenuado a partir de 4800 Hz, enquanto o mesmo mantém-se até 6500 Hz, ao usar o valor exato. O mesmo ocorre, de forma inversa, ao compararmos as figuras 31 e 33.

5 Conclusão

Neste laboratório o grupo teve o primeiro contato com uma placa de processamento digital de sinais. Além disso foi possível aplicar os conceitos teóricos vistos em sala de aula como filtros,

decimadores e detetores de fase.

Por fim foi possível entender e desenvolver um filtro passa banda seguidor, o qual é muito importante em diversas aplicações, desde sistemas de cancelamento de ruído até comunicação com satélites.

6 Index

6.1 Código NCO

```
delta = delta0 + (((long)k * e)<<1)>>16);
//Soma dos sinais
r = r + delta;
//rmin = rmin + deltamin;  Nao necessario no projeto?
//rmax = rmax +deltamax;   Nao necessario no projeto?

s = r & 31744;           //0b11111100000000000
s = s >> 10;             //Utiliza os 5 MSB + bit de sinal e converte para Q15

t = look_sen[s];         //Converte o valor da rampa em uma senoide
y2 = look_sen[s+1];
if(r<0){                 // if para inverter o valor do sen
    t = -t;
    y2 = -y2;
}
f = (r & 1023) << 5;     //0b0000 0011 1111 1111 Utiliza os outros bits
                          da rampa para interpolacao
inter = t + (((y2-t)*(long)f)<<1)>>16); //Interpolacao do seno
NCO = (((long)gain * inter)<<1) >> 16; //Calcula a nova saida do NCO
```

6.2 Código Matlab filtro passa banda

```
Kb = 0.07295965727;
Kf = 0.7071067812;
b0 = Kb;
b2 = [1 0 -1];
a2 = [1 -2*Kf*(1-Kb) 1-2*Kb];

b = b0*b2;
a = a2;
[h0,w0] =freqz(b,a,512,16000);

Kf = 0;
```

```

b0 = Kb;
b2 = [1 0 -1];
a2 = [1 -2*Kf*(1-Kb) 1-2*Kb];
b = b0*b2;
a = a2;
[h1,w1] = freqz(b,a,512,16000);

Kf = -0.7071067812;
b0 = Kb;
b2 = [1 0 -1];
a2 = [1 -2*Kf*(1-Kb) 1-2*Kb];
b = b0*b2;
a = a2;
[h2,w2] = freqz(b,a,512,16000);

figure(1)
hold on
plot(w0,20*log10(abs(h0)))
plot(w1,20*log10(abs(h1)))
plot(w2,20*log10(abs(h2)))

ax = gca;
grid on;
ax.YLim = [-30 1];
ax.XLim = [0 8000];
ax.XTick = 0:500:8000;
xlabel('Frequencia')
ylabel('Magnitude (dB)')
lh = legend("fo=2000","fo=4000","fo=6000");
title("Resposta em Magnitude do filtro IIR de segunda ordem")

figure(2)
hold on
grid on
plot(w0,(angle(h0)))
plot(w1,(angle(h1)))
plot(w2,(angle(h2)))

ax = gca;
grid on;
ax.YLim = [-2 2];
ax.XLim = [0 8000];
ax.XTick = 0:500:8000;
xlabel('Frequencia')
ylabel('fase (rad)')
lh = legend("fo=2000","fo=4000","fo=6000");

```



```
title("Resposta em fase do filtro IIR de segunda ordem")
```

6.3 Código completo

```
#define AIC3204_I2C_ADDR 0x18
#include "usbstk5515.h"
#include "usbstk5515_gpio.h"
#include "usbstk5515_i2c.h"
#include "stdio.h"
#include "usbstk5515.h"
extern Int16 AIC3204_rset( Uint16 regnum, Uint16 regval);
#define Rcv 0x08
#define Xmit 0x20

/* ----- */
*
* main( )
*
* ----- */
void main( void )

{
    Int16 r = 0,s, rmax, rmin,delta, delta0, deltamin, deltamax,gain = 32767,
    SDD,t,k = 27853,y2,inter,f,phase, alfa = 31523,//fc = 100 -> alfa = 0.962
    look_sen[33]= {0,3212,6393 ,9512
    ,12539,15446,18204,20787,23170,25329,27245,28898,30273,31356,32137,32609,
    32767,32609,32137,31356,30273,28898,27245,25329,23170,20787,18204,15446,12539,
    9512,6393,3212,0},
    NCO, e,ec, xband[3] = {0,0,0}, yband[3] = {0,0,0},Kf,ef,a1,fd,dec = 0,yd,
    senkf,senkf2,Kf2,I_Kf;
    // Definicao do Delta = 4,096 * Fo
    delta0 = 16384; //Variavel Delta a ser
    incrementada
    deltamin = 8192; //4.096*2000
    deltamax = 24576; //4.096*6000

    /* Initialize BSL */
    USBSTK5515_init( );

    /* Configure AIC3204 */

    AIC3204_rset( 0, 0 ); // Select page 0
```

```

AIC3204_rset( 1, 1 );           // Reset codec
AIC3204_rset( 0, 1 );           // Select page 1
AIC3204_rset( 1, 8 );           // Disable crude AVDD generation from
DVDD
AIC3204_rset( 2, 1 );           // Enable Analog Blocks, use LDO power
AIC3204_rset( 0, 0 );           // Select page 0
/* PLL and Clocks config and Power Up */
AIC3204_rset( 27, 0x0d );        // BCLK and WCLK is set as o/p to
AIC3204(Master)
AIC3204_rset( 28, 0x00 );        // Data offset = 0
AIC3204_rset( 4, 3 );           // PLL setting: PLLCLK ← MCLK,
CODEC_CLKIN ← PLL CLK
AIC3204_rset( 6, 7 );           // PLL setting: J=7
AIC3204_rset( 7, 0x06 );        // PLL setting: HI.BYTE(D=1680)
AIC3204_rset( 8, 0x90 );        // PLL setting: LO.BYTE(D=1680)
AIC3204_rset( 30, 0x88 );        // For 32 bit clocks per frame in Master
mode ONLY
// BCLK=DAC_CLK/N =(12288000/8) = 1.536
MHz = 32*fs
AIC3204_rset( 5, 0x91 );        // PLL setting: Power up PLL, P=1 and R
=1
AIC3204_rset( 13, 0 );          // Hi.Byte(DOSR) for DOSR = 128 decimal
or 0x0080 DAC oversampling
AIC3204_rset( 14, 0x80 );        // Lo.Byte(DOSR) for DOSR = 128 decimal
or 0x0080
AIC3204_rset( 20, 0x80 );        // AOSR for AOSR = 128 decimal or 0x0080
for decimation filters 1 to 6
AIC3204_rset( 11, 0x86 );        // Power up NDAC and set NDAC value to 6
(fs=16kHz)
AIC3204_rset( 12, 0x87 );        // Power up MDAC and set MDAC value to 7
AIC3204_rset( 18, 0x87 );        // Power up NADC and set NADC value to 7
AIC3204_rset( 19, 0x86 );        // Power up MADC and set MADC value to 6
(fs=16kHz)
/* DAC ROUTING and Power Up */
AIC3204_rset( 0, 0x01 );        // Select page 1
AIC3204_rset( 12, 0x08 );        // LDAC AFIR routed to HPL
AIC3204_rset( 13, 0x08 );        // RDAC AFIR routed to HPR
AIC3204_rset( 0, 0x00 );        // Select page 0
AIC3204_rset( 64, 0x02 );        // Left vol=right vol
AIC3204_rset( 65, 0x00 );        // Left DAC gain to 0dB VOL; Right
tracks Left
AIC3204_rset( 63, 0xd4 );        // Power up left ,right data paths and
set channel
AIC3204_rset( 0, 0x01 );        // Select page 1
AIC3204_rset( 16, 0x00 );        // Unmute HPL , 0dB gain
AIC3204_rset( 17, 0x00 );        // Unmute HPR , 0dB gain
AIC3204_rset( 9, 0x30 );        // Power up HPL,HPR
AIC3204_rset( 0, 0x00 );        // Select page 0

```

```

USBSTK5515_wait( 500 );           // Wait

/* ADC ROUTING and Power Up */
AIC3204_rset( 0, 1 );             // Select page 1
AIC3204_rset( 0x34, 0x30 );       // STEREO 1 Jack
                                   // IN2_L to LADC_P through 40 kohm
AIC3204_rset( 0x37, 0x30 );       // IN2_R to RADCP through 40 kohmm
AIC3204_rset( 0x36, 3 );          // CM_1 (common mode) to LADCM through
40 kohm
AIC3204_rset( 0x39, 0xc0 );       // CM_1 (common mode) to RADCM through
40 kohm
AIC3204_rset( 0x3b, 0x18 );        // MIC_PGA_L unmute
AIC3204_rset( 0x3c, 0x18 );        // MIC_PGA_R unmute
AIC3204_rset( 0, 0 );             // Select page 0
AIC3204_rset( 0x51, 0xc0 );       // Powerup Left and Right ADC
AIC3204_rset( 0x52, 0 );          // Unmute Left and Right ADC

AIC3204_rset( 0, 0 );
USBSTK5515_wait( 200 );           // Wait
/* I2S settings */
I2S0_SRGR = 0x0;
I2S0_CR = 0x8010;                 // 16-bit word, slave, enable I2C
I2S0_ICMR = 0x3f;                 // Enable interrupts

Int16 DataInLeft, DataInRight, DataOutLeft, DataOutRight;
while(1) {
    /* Read Digital audio */
    while((Rcv & I2S0_IR) == 0); // Wait for interrupt
    pending flag
    DataInRight = I2S0_W0_MSW_R; // 16 bit right channel
    received audio data
    DataInLeft = I2S0_W1_MSW_R; // 16 bit left channel
    received audio data
    /* Write Digital audio */
    while((Xmit & I2S0_IR) == 0); // Wait for interrupt
    pending flag
    I2S0_W0_MSW_W = DataOutRight; // 16 bit right channel
    transmit audio data
    I2S0_W1_MSW_W = DataOutLeft; // 16 bit left channel
    transmit audio data

    //-----
    // Your program here!!!
    //-----
    //
    // NCO
    //-----

```

```

delta = delta0 + (((long)k * e)<<1)>>16);
//Soma dos sinais
r = r + delta;
//rmin = rmin + deltamin;   Nao necessario no projeto?
//rmax = rmax + deltamax;   Nao necessario no projeto?

s = r & 31744;           //0b1111110000000000
s = s >> 10;             //Utiliza os 5 MSB + bit de sinal e converte para Q15

t = look_sen[s];         //Converte o valor da rampa em uma senoide
y2 = look_sen[s+1];
if(r<0){                 // if para inverter o valor do sen
    t = -t;
    y2 = -y2;
}
f = (r & 1023) << 5;     //0b0000 0011 1111 1111 Utiliza os outros bits
                          //da rampa para interpolacao
inter = t + (((y2-t)*(long)f)<<1)>>16); //Interpolacao do seno
NCO = (((long)gain * inter)<<1) >> 16; //Calcula a nova saida do NCO

// Phase detector
//a simple multiplier which multiplies the sample of the input signal by the
//sample generated on the previously developed NCO
//-----
phase = (((long)DataInLeft * NCO)<< 1)>>16);

//-----
// Loop Filter
//-----
e = (((long)alfa*e + (32767-alfa)*(long)phase))<<1)>>16; //Resultado em Q15
ec = (((long)e*24932) <<1 ) << 1 ) >> 16; //Valor de e corrigido e*1.76 (
//Q15)
//-----
// Decimation
//
//-----
//Filtro passa baixa IIR Fc=250, alpha = 0,91
fd = (((long)29839*fd + (32767-29839)*(long)ec))<<1)>>16; //Resultado em Q15
//fd = (((long)29839*fd + (32767-29839)*(long)DataInLeft))<<1)>>16; //
//Resultado em Q15
dec++;
//Salva o valor de fd a cada 32 amostras para realizar a decimacao
if (dec == 32)
{
    dec = 0 ;
    yd = fd;
}

```

```

//yd=16384>>1;
//-----
//      Frequency Control
//-----
senkf = (((16384*(long)yd)) << 1 ) >> 16; //ef/2 resultado final em Q15
senkf2 = (senkf & 31744) >> 10;          //0b1111 1100 0000 000 e Utiliza os
      5 MSB + bit de sinal e converte para Q10

Kf = (-look_sen[senkf2] >> 1); //Converte o valor do sen de Q15 para Q14
Kf2 = (-look_sen[senkf2+1] >> 1);
if(senkf<0){
    Kf = -Kf;
}
I_Kf = (senkf & 1023) << 5;          //0b0000 0011 1111 1111 Utiliza os
      outros bits da rampa para interpolacao
inter = Kf+((((Kf2-Kf)*(long)I_Kf)<<1)>>16); //Interpolacao do seno
//Kf = (((-25736*(long)yd)) << 1 ) >> 16; //pi/2*ef resultado final em Q14

//-----
//      Band Pass Filter
//-----
xband[0] = DataInLeft;
a1 = ((2*(long)Kf*(32767-2555)) << 1 ) >> 16; //a1 = 2*Kf*(1-Kb) Valor varia
      entre -1.3 e 1.3 Q14
yband[0] = (((((long)a1*yband[1])<< 1) -(long)27986*yband[2]+(long)2391*xband
      [0]-(long)2391*xband[2]) << 1) >> 16;

yband[2]=yband[1];
yband[1]=yband[0];

xband[2]=xband[1];
xband[1]=xband[0];
//
// Saida
//-----
DataOutLeft = yband[0] ;          // loop left channel samples
DataOutRight = NCO;              // loop right channel samples
}

} // main()

```

Referências

- [1] G. Tavares. "Sistemas de Processamento Digital de Sinais: Slides", IST, 2023
- [2] G. Tavares "Sistemas de Processamento Digital de Sinais: Bandpass Tracking Filter", IST, 2023